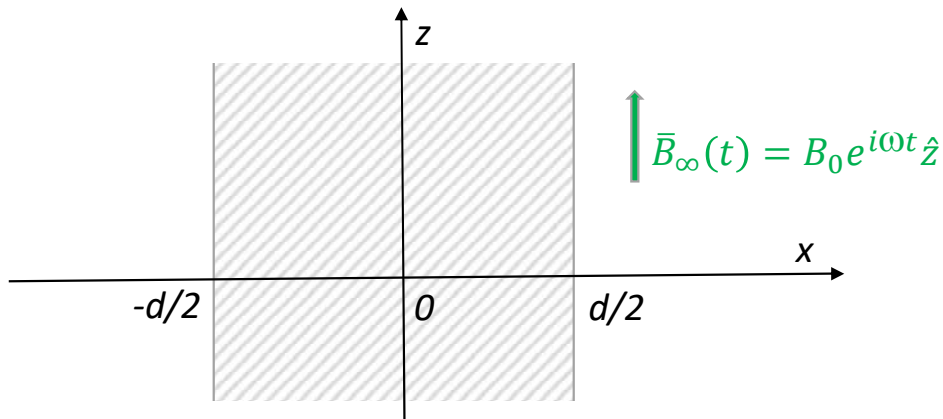


# Conductores perfectos

**Repasemos:**  
**Problema electromagnético cuasiestacionario en un conductor:**  
**Apantallamiento del campo alterno**

**Ecuación constitutiva:**  $\bar{E} = \rho \bar{J}$  o  $\bar{J} = \sigma \bar{E}$  ;  $\rho$  real no depende de  $\bar{J}$



$$B(x, t) = e^{-kx} e^{i\omega t}$$

$$k = \sqrt{\frac{\mu_0 \sigma i \omega}{2}} (1 \pm i) = \frac{1}{\delta} (1 \pm i)$$

c.c:  $B(d/2, t) = B(-d/2, t) = \bar{B}_\infty(t) = B_0 e^{i\omega t}$

Si  $\delta \ll d$ , la parte real de la solución es:

$$B(x, t) = B_0 e^{-\frac{(|x|-d/2)}{\delta}} \cos \left[ \frac{(|x|-d/2)}{\delta} + \omega t \right]$$

El campo penetra en una long. característica  $\delta$

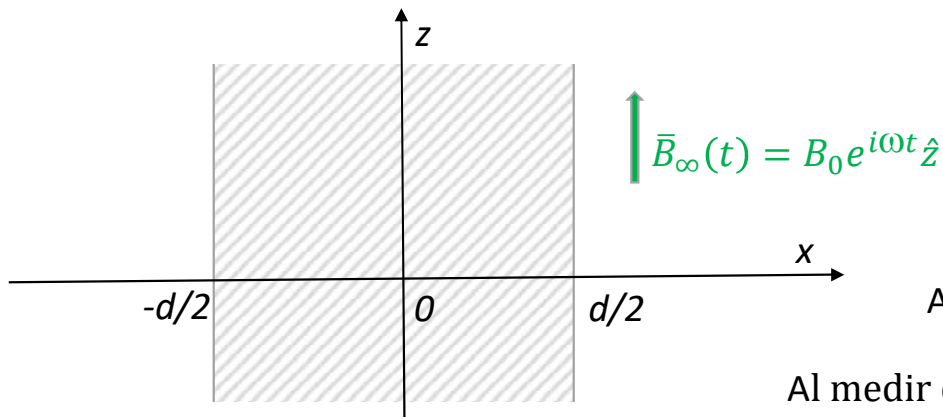
Desfasado del aplicado

$$\delta = \sqrt{\frac{2}{\mu_0 \sigma \omega}} = \sqrt{\frac{2\rho}{\mu_0 \omega}} = \sqrt{\frac{2\rho}{\mu_0 \pi f}}$$

## Problema electromagnético cuasiestacionario en un conductor: Apantallamiento del campo alterno

Parte real:  $B(x, t) = B_0 e^{-\frac{(|x|-d/2)}{\delta}} \cos \left[ \frac{(|x|-d/2)}{\delta} + \omega t \right]$      $\delta = \sqrt{\frac{2\rho}{\mu_0 \omega}}$

$$\langle B(t) \rangle_{muestra} = \frac{1}{d} \int_{-d/2}^{d/2} B(x, t) dx$$



Como no hay FD:  $H(t) = \frac{B_{\infty}(t)}{\mu_0}$

$$\langle M(t) \rangle = \frac{1}{\mu_0} \langle B(t) \rangle - H(t)$$

Al medir  $m(t) = \langle M(t) \rangle V$ , medimos en forma indirecta  $\delta$

Al medir en forma inductiva  $\partial \langle B(t) \rangle / \partial t$ , medimos en forma indirecta  $\delta$

En general  $B(x, t)$  está desfasado de  $H(t) \Rightarrow \langle B(t) \rangle$  y  $\langle M(t) \rangle$  van a estar desfasados de  $H(t)$ .

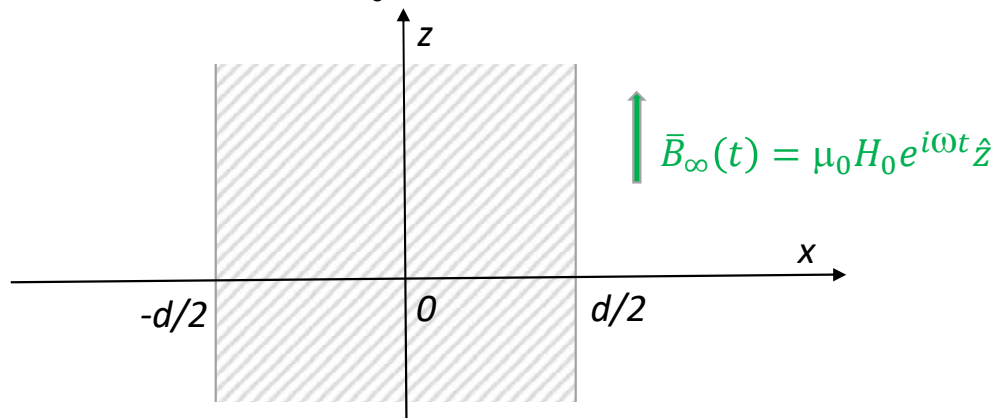
**Susceptibilidad alterna  $\chi_{ac}$  compleja**

$$\chi_{ac} = \chi' + i\chi'' = \frac{1}{2\pi H_0} \int_0^{2\pi} M(t) e^{i\omega t} d(\omega t)$$

## Apantallamiento del campo alterno en conductores Susceptibilidad alterna

Parte real:  $B(x, t) = B_0 e^{-\frac{(|x|-d/2)}{\delta}} \cos\left[\frac{(|x|-d/2)}{\delta} + \omega t\right]$       $\delta = \sqrt{\frac{2\rho}{\mu_0\omega}}$   
 $H(t) = H_0 \cos(\omega t)$

$$\chi_{ac} = \chi' - i\chi'' = \frac{1}{2\pi H_0} \int_0^{2\pi} M(t) e^{i\omega t} d(\omega t)$$



$$\chi' = \frac{1}{2\pi H_0} \int_0^{2\pi} M(t) \cos(\omega t) d(\omega t)$$

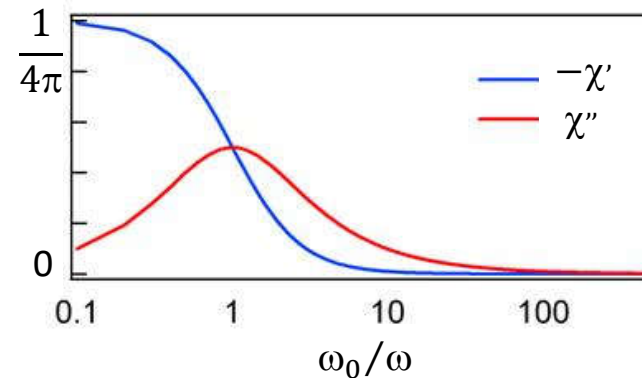
$$\chi'' = \frac{1}{2\pi H_0} \int_0^{2\pi} M(t) \sin(\omega t) d(\omega t)$$

Si  $M(t)$  está en fase con  $H(t)$ ,  $\chi'' = 0$ .

$$M(t) = (\chi' - i\chi'')H(t) = H_0(\chi' \cos(\omega t) + \chi'' \sin(\omega t))$$

La energía disipada en un ciclo es  $W = \oint_{ciclo} BdH$

Ver que  $W \propto \chi''$



$$\frac{d}{2} = \delta(\omega_0) = \sqrt{\frac{2\rho}{\mu_0\omega_0}}$$

## Qué pasa en un conductor perfecto?

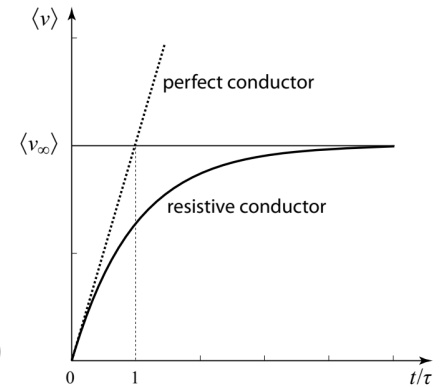
En un conductor  $\delta = \sqrt{\frac{2\rho}{\mu_0\omega}} \xrightarrow{\rho=0} \delta=0$  ? NO DEL TODO

Volvamos al Modelo de Drude:

$$\frac{d\langle\bar{p}\rangle}{dt} = -\frac{\langle\bar{p}\rangle}{\tau} - e\bar{E} \implies \langle\bar{p}\rangle(t) = -e\tau\bar{E}(1 - e^{-t/\tau})$$

$$\langle\bar{p}\rangle_\infty = -e\bar{E}\tau \text{ si } t \gg \tau$$

$$\frac{d\langle\bar{p}\rangle}{dt} = -e\bar{E} \text{ si } t \ll \tau \text{ (conductor perfecto)}$$



$$\frac{d\langle\bar{p}\rangle}{dt} = \frac{\partial\langle\bar{p}\rangle}{\partial t} + (\langle\bar{p}\rangle/\bar{v})\langle\bar{p}\rangle$$

$$\bar{J} = -ne\langle\bar{v}\rangle = -\frac{ne}{m}\langle\bar{p}\rangle \implies$$

$$\frac{\partial\bar{J}}{\partial t} = -\frac{ne}{m}\frac{\partial\langle\bar{p}\rangle}{\partial t} = -\frac{ne}{m}(-e\bar{E}) \implies$$

$$\frac{\partial\bar{J}}{\partial t} = \frac{ne^2}{m}\bar{E}$$

$$* \frac{\partial}{\partial t}(\bar{\nabla} \times \bar{J}) = \frac{ne^2}{m}\bar{\nabla} \times \bar{E} = -\frac{ne^2}{m}\frac{\partial\bar{B}}{\partial t} \quad \text{y} \quad \bar{\nabla} \times \frac{\partial\bar{B}}{\partial t} = \mu_0\frac{\partial\bar{J}}{\partial t} \implies \frac{\partial}{\partial t}(\bar{\nabla} \times \bar{B}) = \mu_0\frac{\partial\bar{J}}{\partial t}$$

$$\text{tomando rotor y recordando: } \bar{\nabla} \times \bar{\nabla} \times \bar{B} = -\bar{\nabla}^2\bar{B} \implies \frac{\partial}{\partial t}(-\bar{\nabla}^2\bar{B}) = \mu_0\frac{\partial}{\partial t}(\bar{\nabla} \times \bar{J}) *$$

$$\implies \bar{\nabla}^2\left(\frac{\partial\bar{B}}{\partial t}\right) = \frac{ne^2}{m}\frac{\partial\bar{B}}{\partial t}$$

La longitud  $\lambda_L^2 = \frac{m}{\mu_0 ne^2}$  no depende de  $\omega$  y fue la longitud que inspiró a London.

$$\bar{\nabla} \times \bar{E} = -\frac{\partial\bar{B}}{\partial t} \quad (m1)$$

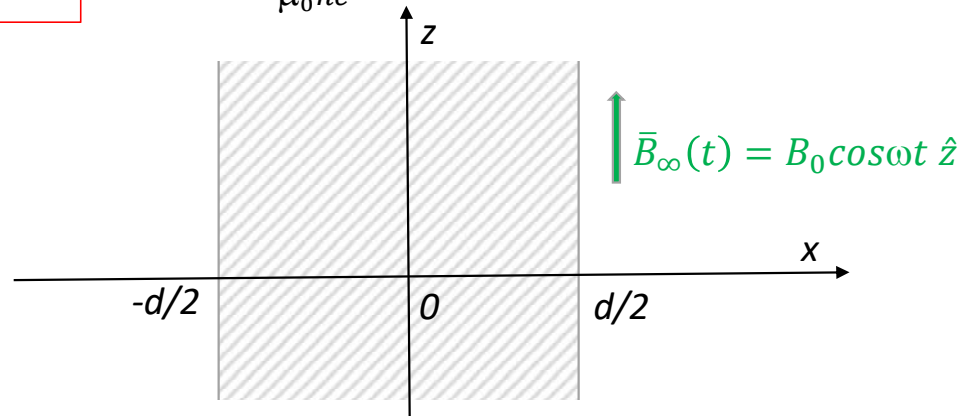
$$\bar{\nabla} \times \bar{B} = \mu_0\bar{J} \quad (m4)$$

## Qué pasa en un conductor perfecto?

$$\frac{\partial \bar{J}}{\partial t} = \frac{ne^2}{m} \bar{E}$$

$$\bar{\nabla}^2 \left( \frac{\partial \bar{B}}{\partial t} \right) = \frac{1}{\lambda_L^2} \frac{\partial \bar{B}}{\partial t}$$

$$\lambda_L^2 = \frac{m}{\mu_0 ne^2} \text{ real e independiente de } \omega$$



Ver que en una geometría de slab infinito, si  $\lambda_L \ll d$ , el campo  $B(x, t)$  oscila en fase con el aplicado y decae exponencialmente desde los bordes con longitud característica  $\lambda_L$ . Problema de la práctica.

Estimemos  $\lambda_L$  para un materiales como el Cu con conductividad perfecta:

$$\left. \begin{aligned} n &= 1.7 \cdot 10^{29} \frac{\text{electrones}}{\text{m}^3} \\ e &= 1.6 \cdot 10^{-19} \text{C} \\ m &= 9.1 \cdot 10^{-31} \text{kg} \\ \mu_0 &= 4\pi \cdot 10^{-7} \text{NA}^2 \end{aligned} \right\} \lambda_L \approx 13 \text{ nm}$$

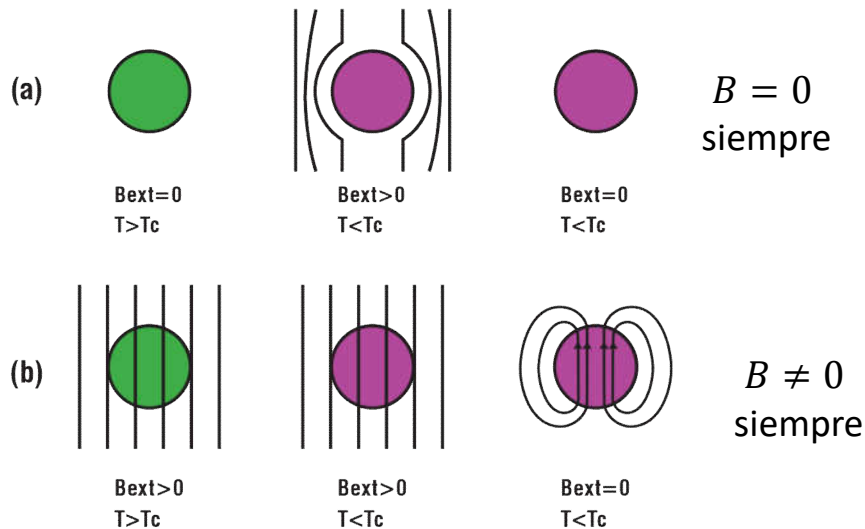
## Conductor perfecto vs superconductor

$$\nabla^2 \left( \frac{\partial \bar{B}}{\partial t} \right) = \frac{ne^2}{m} \frac{\partial \bar{B}}{\partial t}$$

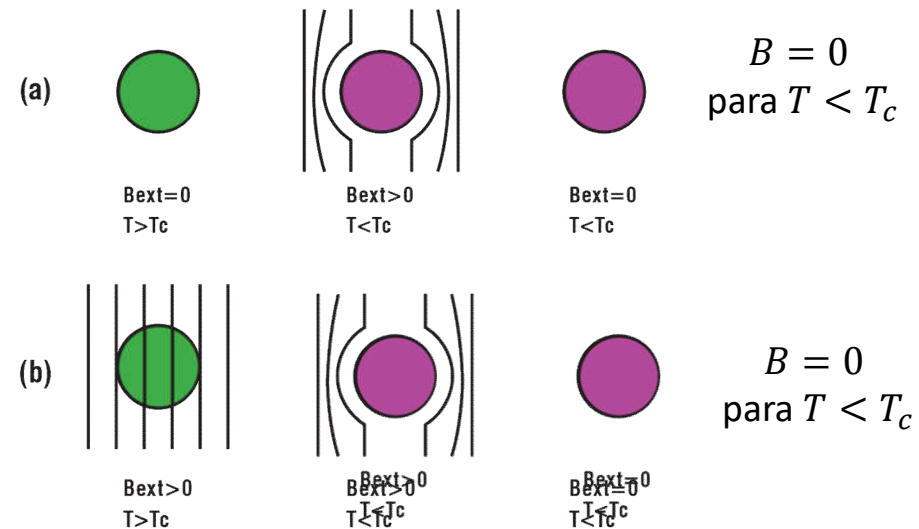
Un conductor perfecto apantalla  $\frac{\partial \bar{B}}{\partial t}$ .  
No permite variación temporal de  $\bar{B}$  en su interior.

Un superconductor en estado Meissner expulsa  $\bar{B}$  de su interior.

Si imaginamos un material que se vuelve conductor perfecto a  $T < T_c$ :



En un material que se vuelve superconductor a  $T < T_c$ :



Vamos a ver la clase próxima que  $\lambda_L$  es también la longitud que caracteriza la expulsión de campo en los superconductores.

## Estado Meissner en un Superconductor

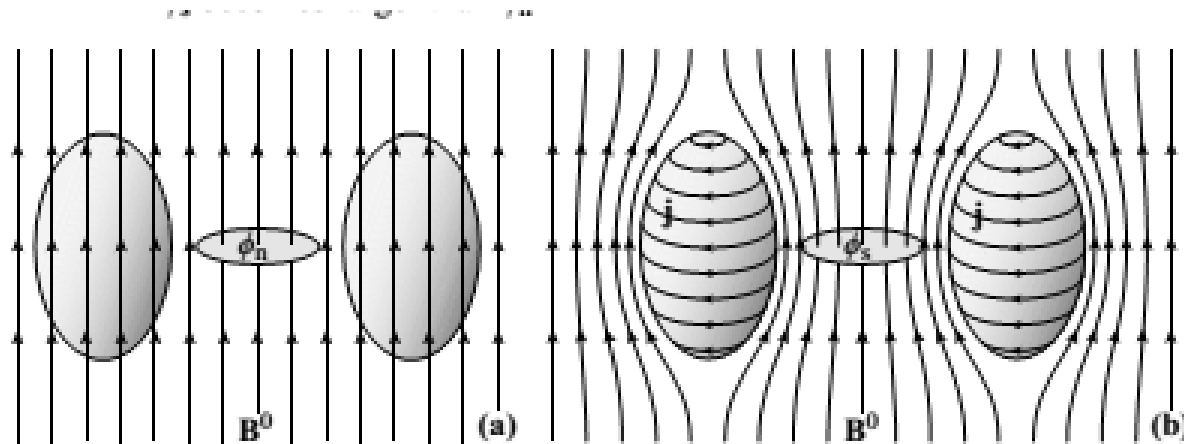


Figure 2.11 - The OCHSENFELD experiment

Dos superconductores en un campo  $B$  uniforme. Una espira en el medio permite medir variaciones en el flujo magnético.

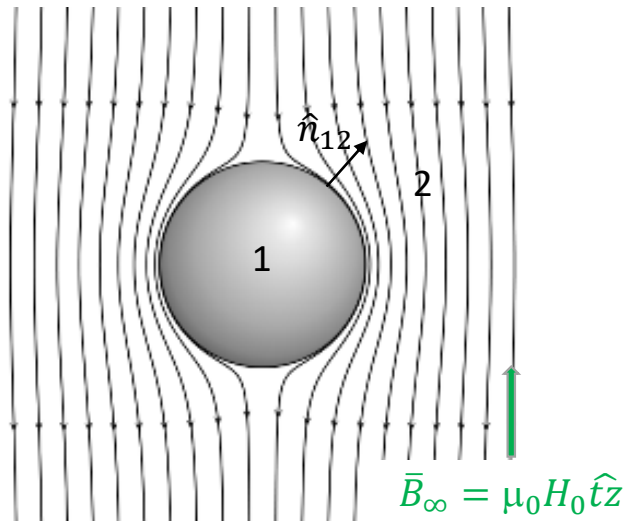
Al enfriar el superconductor, los superconductores expulsan  $B$ . La bobina sensible a cambio de flujo en  $T = T_c$ .

En el experimento real los superconductores eran cilindros. Midió un aumento de flujo de  $B = B_0$  a  $B = 1.77 B_0$ . La redistribución de las líneas de campo va a depender de la geometría y en particular del llamado **Factor Demagnetizante**.



## Estado Meissner con Factor Demagnetizante (FD)

Ejemplo: esfera Meissner



La redistribución de las líneas de campo va a depender de la geometría y en particular del FD

Problema general

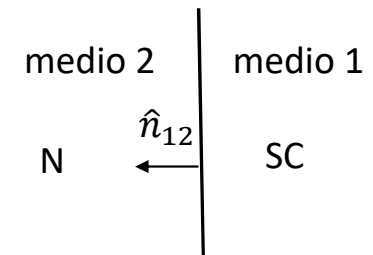
$$(\bar{B}_2 - \bar{B}_1) \cdot \hat{n}_{12} = 0 \quad (\text{cc3})$$

$$(\bar{B}_2 - \bar{B}_1) \times \hat{n}_{12} = \mu_0 \bar{K}_s \quad (\text{cc4})$$

$$(\bar{H}_2 - \bar{H}_1) \cdot \hat{n}_{12} = \bar{M} \cdot \hat{n}_{12}$$

$$(\bar{H}_2 - \bar{H}_1) \times \hat{n}_{12} = \mu_0 \bar{K}_L$$

$$\bar{M} \times \hat{n}_{12} = \mu_0 \bar{K}_{ind}$$



Afuera:  $\bar{B}_2 = \mu_0 \bar{H}$

Adentro:  $\bar{B}_1 = \mu_0 (\bar{H} + \bar{M})$

### Superconductor macroscópico en Meissner

Como  $\lambda_L$  es mucho menor que la típica dimensión macro, suponemos que las corrientes superconductoras inducidas son superficiales.

De todas formas no hay corrientes superficiales libres.

$$(\bar{H}_2 - \bar{H}_1) \times \hat{n}_{12} = 0 \Rightarrow \bar{H}_{2\parallel} = \bar{H}_{1\parallel}$$

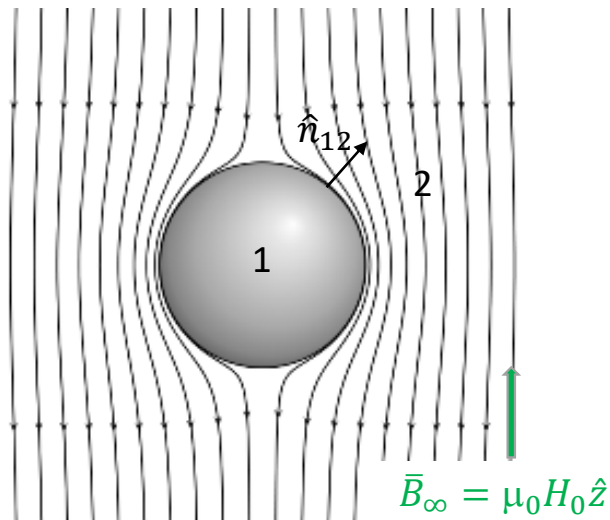
$$\bar{M} \times \hat{n}_{12} = \mu_0 \bar{K}_{sup}$$

$$\bar{B}_1 = 0$$

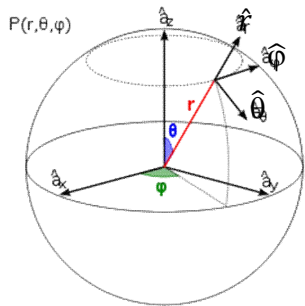
$$\bar{H}_{2\perp} = \bar{H}_{1\perp} + \bar{M}_{\perp} \quad \text{o} \quad \bar{B}_{2\perp} = \bar{B}_{1\perp}$$

$$\bar{B}_2 = \bar{B}_{\infty} + \bar{B}_{generado \text{ por } \bar{K}_{sup}}$$

## Ejemplo: Esfera Meissner



Coordenadas esféricas



### Superconductor macroscópico en Meissner

$$(\bar{H}_2 - \bar{H}_1) \times \hat{n}_{12} = 0 \Rightarrow \bar{H}_{2\parallel} = \bar{H}_{1\parallel}$$

$$\bar{M} \times \hat{n}_{12} = \mu_0 \bar{K}_{sup} \quad \bar{H}_{2\perp} = \bar{H}_{1\perp} + \bar{M}_{\perp} \quad \text{o} \quad \bar{B}_{2\perp} = \bar{B}_{1\perp}$$

$$\bar{B}_1 = 0$$

$$\bar{B}_2 = \bar{B}_{\infty} + \bar{B}_{\text{generado por } \bar{K}_{sup}}$$

### Esfera superconductora de radio $R$ :

$$\bar{B}_2 = \bar{B}_{\infty} + \bar{B}_{\text{esfera}}$$

Por simetría  $\bar{B}_{\text{esfera}}$  solo puede tener componente bipolar

$$\bar{B}_{\text{esfera}}(\vec{r}) = \frac{\mu_0}{4\pi} \frac{3\hat{r}(\hat{r} \cdot \bar{m}) - \bar{m}}{r^3}$$

$\bar{m} = m\hat{z}$  momento dipolar magnético de la esfera.

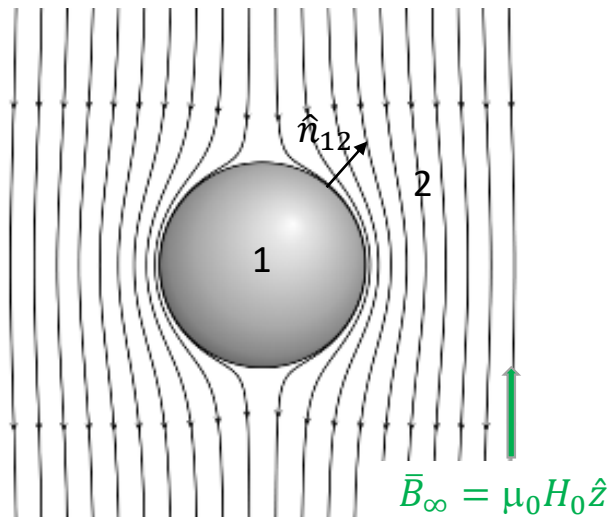
$$\bar{B}_{\text{esfera}}(\vec{r}) = \frac{\mu_0}{4\pi r^3} [2 \cos\theta \hat{r} + \sin\theta \hat{\theta}] ; \quad \mu_0 \bar{H}_0 = \mu_0 H_0 (\cos\theta \hat{r} - \sin\theta \hat{\theta})$$

$$\text{Afuera: } \bar{B}_2 = \mu_0 \bar{H}_0 + \bar{B}_{\text{esfera}}(\vec{r}) \quad \text{c.c: } \bar{B}_{2\perp}(r=R) = \bar{B}_{1\perp}(r=R)$$

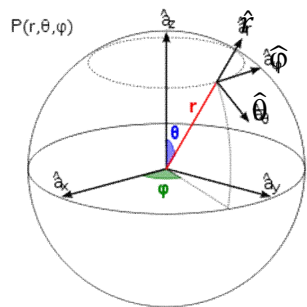
$$\text{Adentro: } \bar{B}_1 = 0$$

$$\mu_0 \cos\theta \left[ H_0 + \frac{m}{2\pi R^3} \right] = 0 \Rightarrow \boxed{m = -2\pi R^3 H_0}$$

## Ejemplo: Esfera Meissner



Coordenadas esféricas



$$\text{Afuera: } \vec{B}_2 = \mu_0 H_0 (\cos\theta \hat{r} - \sin\theta \hat{\theta}) + \frac{\mu_0 m}{4\pi r^3} [2 \cos\theta \hat{r} + \sin\theta \hat{\theta}]$$

$$\text{Adentro: } \vec{B}_1 = 0$$

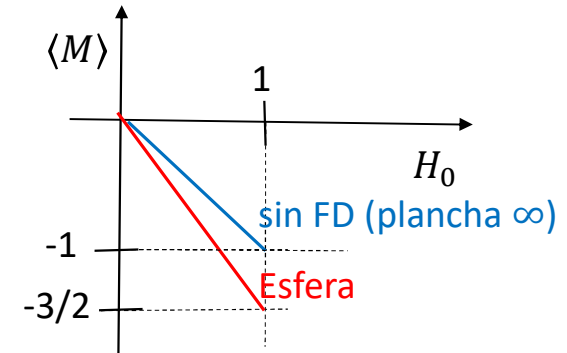
$$\text{c.c: } \vec{B}_{2\perp}(r=R) = \vec{B}_{1\perp}(r=R) \Rightarrow \boxed{m = -2\pi R^3 H_0}$$

$$\langle \vec{M} \rangle = \frac{\bar{m}}{V} = -\left(\frac{3}{2}\right) H_0 \hat{z}$$

FD

$\vec{M}$  uniforme \*

$$\Rightarrow \vec{H}_1 = -\vec{M} = \frac{3}{2} H_0 \hat{z} \neq H_0$$



Cómo son las  $\vec{K}_{sup}$  inducidas?

$$\vec{M} \times \hat{n}_{12} = \mu_0 \vec{K}_{sup}$$

Expresando  $\vec{M}$  en esféricas, se llega a:  $\mu_0 \vec{K}_{sup} = -M \sin\theta \hat{\phi}$

$$\boxed{\vec{K}_{sup} = -\frac{3}{2\mu_0} H_0 \sin\theta \hat{\phi}}$$

\*Se puede ver que en elipsoides de revolución en un  $\vec{H}_0$  uniforme,  $\vec{M}$  y  $\vec{H}_1$  son uniformes. En la mayoría de las geometrías la solución no es analítica. Hay tablas y cálculos numéricos.

- Qué relación constitutiva puede justificar el apantallamiento del campo  $\vec{B}$  en los SC ?

La clase próxima: Modelo de London